

減搖水槽의 性能에 關하여 (2)

禹 奉 九*, 印 茲 煥*, 具 鍾 道**

On the Performance of the Anti-Rolling Tank (2)

Bong Koo Woo*, Chul Hwan In*, and Jong Do Koo**

Abstract

In this paper, authors investigate and analize the effects of the anti-rolling tank which are calculated in accord with the tank damping coefficients by the computer, and which are represented with both the tank water's saturating state and the normal state in the irregular waves by analog computer.

As the results of these studies, we immediately find that the tank optimum damping coefficient b_{10} , is 0.3877 due to calculating μ -values, analizing and comparing inclinations of μ -values, and that although a nonlinear elements are included in the response character of the ship-tank system, the output is no longer Gaussian distribution, even when the sea waves are considered as Gaussian, and can not be expressed by the spectral forms which premise the superposition theory.

1. 緒 言

船舶의 安全性은 航海中 船體運動과 密接한 關係가 있으며 船體運動中 橫搖는 船舶에 여러가지 面에서 相當한 影響을 줌으로 지금까지 많은 學者들이 理論과 實驗으로 船舶의 橫搖運動의 輕減法을 考察하였다. 이들 橫搖運動의 輕減法을 分類하면 아래 表와 같다. [1]

Table 1의 減搖法中 受動型減搖水槽(passive anti-

rolling tank)의 依한 減搖法은 다른 減搖法보다 裝置와 作動面에서 單純하며 水槽를 燃料와 清水等의 倉庫로도 使用할 수 있고 不必要時는 水槽內의 流體를 비워 重量을 減少시킬 수도 있으며 約 50~80% 程度의 減搖效果를 얻을 수 있기 때문에 主로 使用되고 있다.

本研究에서는 參考文獻[6]의 連續으로 特히 減搖水槽自體의 最適減衰係數와 不規則海洋波中에서 水槽天井에 물이 부딪칠 경우의 減搖水槽의 效果에 關하여敘述코자 한다.

Table 1. The classifications of Anti-Rolling Tank

Origin of forces developing the stabilizing moment	Principle of operation	
	Passive stabilizer	Active stabilizer
Force of weight	Passive rigid weight Passive A.R.T. (antirolling tank) of Type I and II	Active rigid weight Active A.R.T. of Type I and II of various construction
Hydrodynamic force	Bilge keel (side keel) Passive fins	Activated side rudders of various construction Stabilizers with propellers of various construction
Gyroscopic forces	Passive Gyrostabilizer	Active gyro-stabilizer

2. 船-減搖水槽系의 運動方程式

減搖水槽에 依한 減搖原理는 流體質量의 한 쪽 區劃

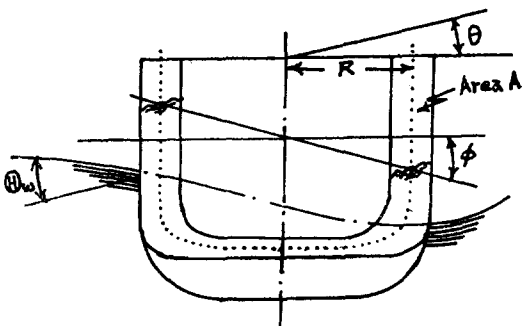


Fig. 2-1 Cross-section of ship with anti-rolling tank[2]

* 接受日字：1974年 4月 5日

正會員：仁荷大學校, 工科大學

** 正會員：仁荷工科大學校 大學院

에서 다른 쪽 구劃으로 移動함에 따라 重量에 依한 安定化 moment 를 發生시키는데 있다.

J.H. Chadwick 의 二重振子理論을 基礎로 Fig. 2-1 에 表示된 船-減搖水槽系의 運動方程式은 다음과 같다[2].

$$\left. \begin{aligned} J_s \ddot{\theta} + B_s \dot{\theta} + K_s \theta + J_t \ddot{\phi} + K_t \phi = M_a \\ J_s \ddot{\theta} + K_s \theta + J_t \ddot{\phi} + B_t \phi + K_t = 0 \end{aligned} \right\} \dots\dots\dots(2-1)$$

但, J_s : Inertia coefficient of ship

K_s : Coefficient of restoring force of ship

B_s : Tank damping coefficient

J_{st} : Coefficient of inertia coupling between ship and tank

B_t : Ship damping coefficient

J_t : Inertia coefficient of tank

K_t : Coefficient of restoring force of tank

K_{st} : Coefficient of static coupling between ship and tank

(2-1)式의 解를

$$\theta = \bar{\theta} e^{i(\omega t - \epsilon_s)} \quad \left. \begin{aligned} \theta = \bar{\theta} e^{i(\omega t - \epsilon_t)} \end{aligned} \right\} \dots\dots\dots(2-2)$$

(但, θ : 船의 橫搖角, ϕ : 減搖水槽內 流體의 搖角)로 놓고 (2-1)式을 풀면 다음의 結果를 얻는다.

$$\mu = \left| \frac{\theta}{\Theta_s} \right| = \frac{\gamma}{\sqrt{\left(a_s - \frac{\lambda' a_t}{a_t^2 + b_t^2} \right)^2 + \left(b_t + \frac{\lambda' b_t}{a_t^2 + b_t^2} \right)^2}} \quad \dots\dots\dots(2-3)$$

$$\epsilon_s = \tan^{-1} \frac{b_t + \frac{\lambda' b_t}{a_t^2 + b_t^2}}{a_s - \frac{\lambda' a_t}{a_t^2 + b_t^2}} \quad \dots\dots\dots(2-4)$$

但, μ : magnification factor, Θ_s : 波傾斜角, ω : 波의 周波數, ω_s : 船의 固有周波數, ω_t : 減搖水槽의 固有周波數, ω_{st} : decoupling frequency = $\sqrt{\frac{K_t}{J_{st}}}$, t : 時間, $a_s = 1 - \frac{\omega^2}{\omega_s^2}$, $a_t = 1 - \frac{\omega^2}{\omega_t^2}$, $a_{st} = 1 - \frac{\omega^2}{\omega_{st}^2}$,

$M_a = \gamma \Theta_s \cdot \bar{W} \cdot GM$, γ : 有効波係數, b_t : normalized damping of ship = $\frac{B_t \omega}{K_t}$, b_t : normalized damping of tank = $\frac{B_t \omega}{K_t}$, $\lambda' = \lambda a_{st}^2$, $\lambda = \frac{K_t}{K_s}$

3. 減搖效果의 諸要素

3.1 減搖水槽의 減衰係數의 意義

水槽內 流體의 間涉效果가 없다고 假定하면 減衰效果는 局部의 速度로 運動하는 水槽內 自由表面上 流體粒子의 運動力學的 條件은 變化가 없는 反面에, 自由表面의 力學的 條件으로 因하여 減衰項을 附加함으

로 일어나며 減衰係數의 크기는 消散에너지와 供給에너지의 均衡狀態에서 決定된다[5]. 지금까지 研究結果에서 減衰係數의 경향은 減衰係數의 크기에 따라서 減衰率과 水槽內의 流體 moment가 變化하여 減搖效果에 많은 影響을 줌으로 減衰係數에 關하여 論하는 것도 큰 意義가 있다 하겠다.

3.1.1 微分에 依한 最適減衰係數

(2-3)式에서 減衰係數項 b_t 項을 未知數로 보고 微分하면,

$$\frac{d\mu}{db_t} = \frac{-\gamma \lambda' \{ b_t b_t^2 + (\lambda' - 2a_s a_t) b_t - b_s a_s^2 \}}{(a_s^2 + b_t^2)^2 \sqrt{\left(a_s - \frac{\lambda' a_t}{a_t^2 + b_t^2} \right)^2 + \left(b_t + \frac{b_t \lambda'}{a_t^2 + b_t^2} \right)^2}} \quad \dots\dots\dots(3-1)$$

이 되며 $d\mu/db_t = 0$ 가 되기 위해서는

$$b_t b_t^2 + (\lambda' - 2a_s a_t) b_t - b_s a_s^2 = 0 \quad \dots\dots\dots(3-2)$$

이어야 하며 減衰係數 b_t 의 二次方程式의 根의 判別式

이 0보다 큼으로 實根을 가지며 그 根은

$$b_{t1,2} = \frac{-(\lambda' - 2a_s a_t) \pm \sqrt{(\lambda' - 2a_s a_t)^2 + 4b_s^2 a_s^2}}{2b_s} \quad \dots\dots\dots(3-3)$$

이 된다. (3-3)式에 同調狀態의 條件 $\omega = \omega_s = \omega_t$ 를 代入하여 읊미하면 b_{t1} (+인 경우)은 0이 되어 Chadwick의 absorber effect 現狀이 나타나며 b_{t2} (-인 경우)는 μ 의 값이 最大值가 됨으로 求하고자 하는 條件에 모순되나 여기서는 b_{t1} 과 b_{t2} 의 값을 取하여 그 平均值를 最適減衰係數 $(b_{t0})_D$ 로 보고 同調條件에서

$$(b_{t0})_D = \frac{\lambda'}{2b_s} \quad \dots\dots\dots(3-4)$$

한 結果를 얻었다.

3.1.2 Stigter의 最適減衰係數[3]

Ir. C. Stigter는 船-減搖水槽系의 運動方程式에서 船의 減衰項 b_t 와 decoupling項 a_{st} 를 無視하고 Fig. 3-1 과 같이 두 個의 固定點을 모든 μ 의 曲線이 通過하고 있는 理致에 依해 船-減搖水槽系의 橫搖方程式에서는 ω/ω_s 의 根을 求한 結果에서 最適安定化條件으로

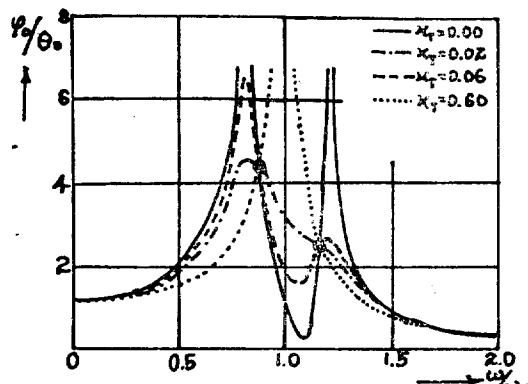


Fig. 3-1 Ship motion with variable tank resistance[3]

但, l : tank 的 길이, h : side tank 内 流體의 높이,
 h_d : height connecting duct, Z : 船의 重心 G 로부터
 부터 tank 까지의 높이

b) 減搖水槽를 重心보다 下方에 設置한 경우
decoupling 項의 第二項이 陽임으로

$$\omega_{st}^2 = \frac{g}{h - h_4 + Z} \quad \dots \dots \dots \quad (3-18)$$

이 된다. 그런므로

$$a_{st} = 1 - \frac{\omega^2}{\omega_{cr}^2} \quad \dots \dots \dots \quad (3-19)$$

이 依해 a_{ij} 를 求할 수 있다.

3.4 有效波係數(Effective wave slope coeff.)

有効波係数 γ 에 關하여는 現在까지 渡邊의 理論式이 使用되고 있다.

(3-20)式은相當한係數를必要로 하므로計算이 복잡하고 또最近有効波係數를實驗에依하여實測한다 (3-20)式의理論值와差가있음이어느程度確實視되고있어大體로一般的인概念에서볼때 γ 는波의周波數 ω 를獨立變數로, 다음의指數函數로表示된다.

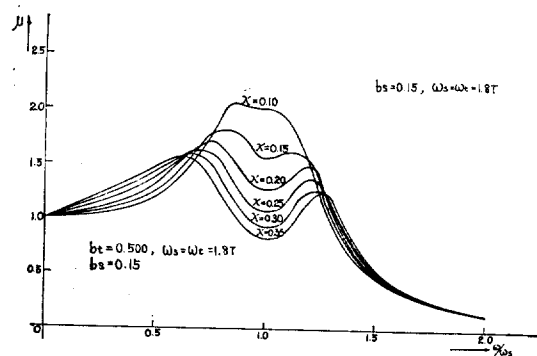
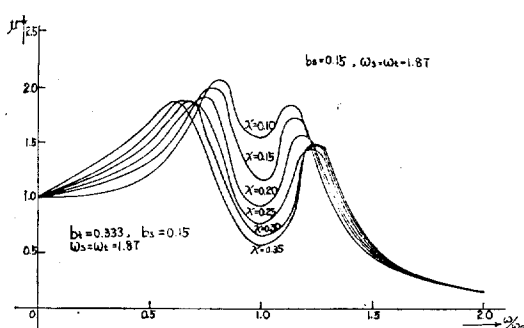


Fig. 4-2 μ -values with $b_t = 0.500$

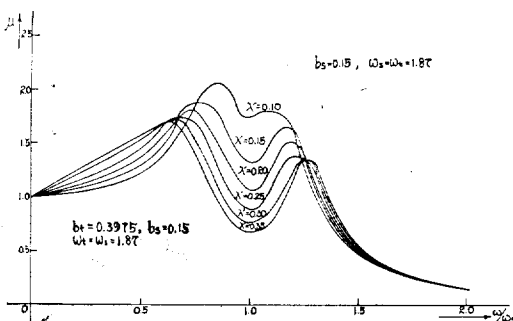


Fig. 4-3 μ -values with $b_t = 0.3975$

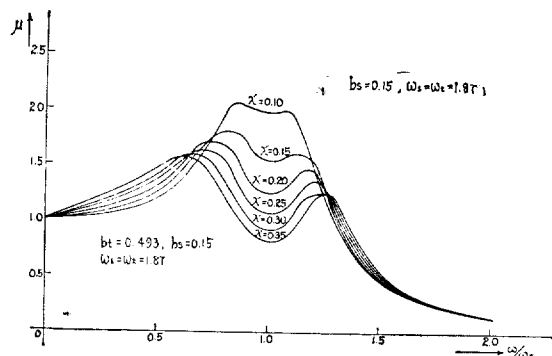
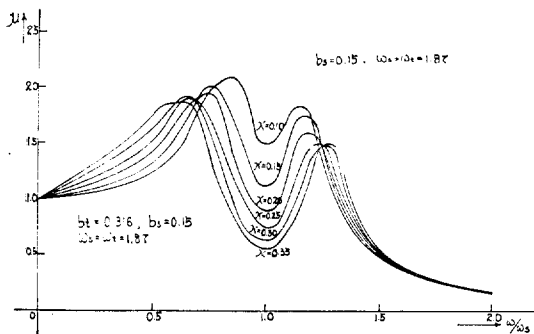
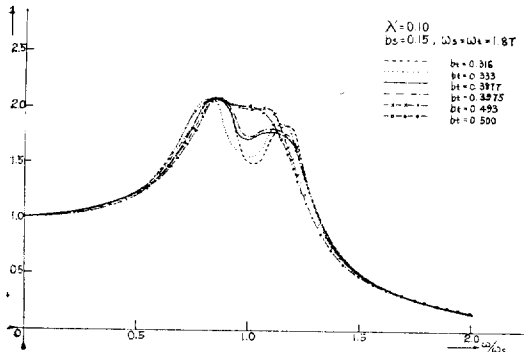


Fig. 4-4 μ -values with $b_t = 0.493$

Fig. 4-5 μ -values with $b_1 = 0.316$

取하여 λ' 의 각 값에 관한 μ 의 계산값을 플로트한 것이며 Fig. 4-3 과 Fig. 4-4는 $b_1 = 0.15$ 일 때 (3-8)式에 의한 $(b_{10})_K$ 의 값을 (2-3)式의 b_1 의值得하여 λ' 의 값에 관한 μ 의 계산값이고 Fig. 4-5 와 Fig. 4-6 은 $b_1 = 0.15$ 일 때 (3-12)式에 의한 $(b_{10})_K$ 의 값을 (2-3)式의 b_1 의值得하여 구한 μ 의 계산값을 나타낸다.

4.3 計算結果 比較検討

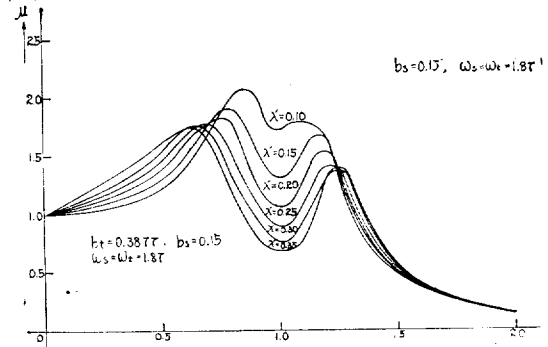
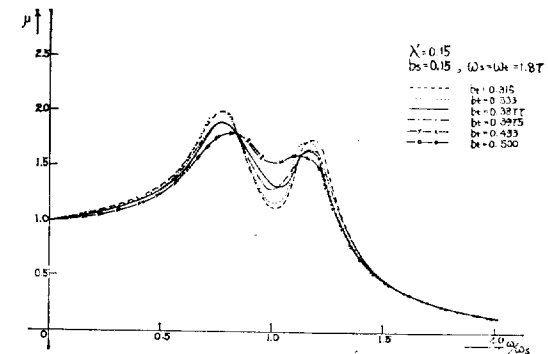
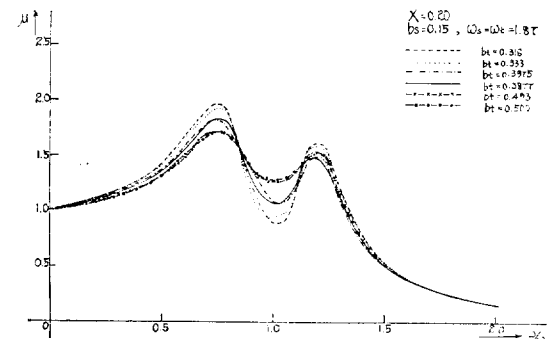
Fig. 4-7 μ -values with $\lambda' = 0.10$

以上에서 論한 μ 계산값에 의한 最適減衰係數를 判別하기 위하여 $\lambda' = 0.10$, $\lambda' = 0.15$, $\lambda' = 0.20$ 에 關한 μ 계산값가 Fig. 4-7, Fig. 4-8 과 Fig. 4-9에 表示되어 있다. λ' 의 값에 依한 (b_{10}) 의 각 경우를 比較検討하면, $(b_{10}) = 0.3877$ 인 경우일 때 大體로 λ' 의 값에 關係없이 μ 의 값이 最適함을 알 수 있음으로 本 研究에서는 最適減衰係數를 $(b_{10}) = 0.3877$ と 定했다.

4.4 $b_{10} = 0.3877$ 일 때 μ 의 計算值

最適減衰係數를 $(b_{10}) = 0.3877$ 로 하였을 때 Fig. 4-10 은 $\omega_t/\omega_s = 0.962$ 인 경우, Fig. 4-11 은 $\omega_t/\omega_s = 1.123$ 인 경우이며 Fig. 4-12 는 $b_1 = 0.07$ 인 경우, Fig. 4-13 은 $b_1 = 0.20$ 인 경우의 μ 의 계산값을 플로트한 것이다.

大體로 알 수 있듯이 同調狀態에서는相當히 効果의 ω_t/ω_s 의 값이 적을수록 $\omega_t/\omega_s = 0.8$ 근처를 제외하고는 비교적 減搖效果가 좋으며 ω_t/ω_s 의 값이 1.0

Fig. 4-6 μ -values with $b_1 = 0.3877$ Fig. 4-8 μ -values with $\lambda' = 0.15$ Fig. 4-9 μ -values with $\lambda' = 0.20$

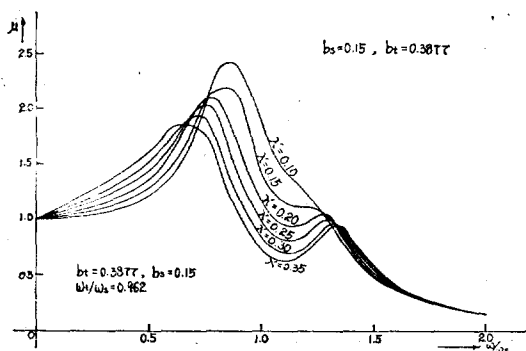
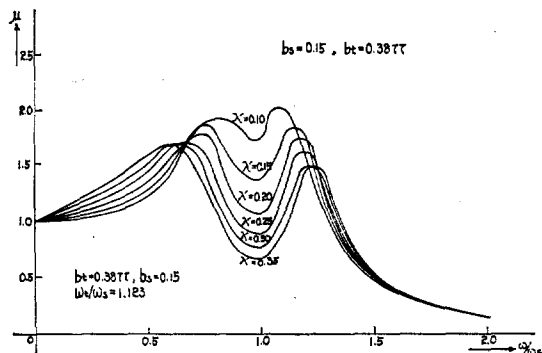
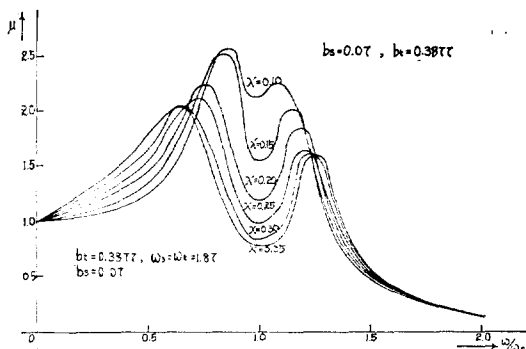
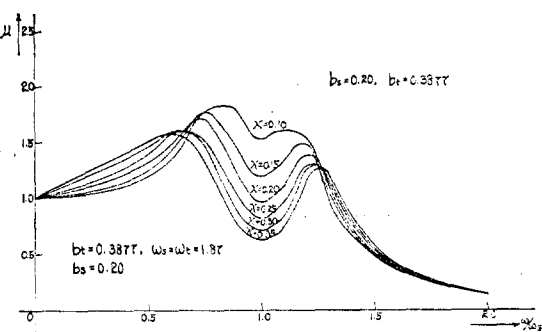
보다 큰 경우도 마찬가지다. b_1 의 값에 따라서는 b_1 의 값이 적을수록 $\omega_t/\omega_s = 0.8$ 근처에서는 効果가 나쁘나 그 외에는相當한 効果를 나타내 주고 있으며 b_1 의 값이 크면 저주파수나 고주파수에 관계 없이 減搖效果가 좋음을 알 수 있다.

4.5 減搖率

同調狀態에 있어서 減搖率은 다음 式으로 表示된다.

[4]

$$k = \frac{|\theta| \text{with tank}}{|\theta| \text{without tank}} = \frac{b_1}{b_1 + \frac{a_{int} \cdot \lambda}{b_1}} = \frac{b_1}{b_1 + \frac{\lambda}{b_1}}$$

Fig. 4-10 μ -values with $\omega_1/\omega_0 = 0.962$ Fig. 4-11 μ -values with $\omega_1/\omega_0 = 1.123$ Fig. 4-12 μ -values with $b_2 = 0.07$ Fig. 4-13 μ -values with $b_2 = 0.20$

(3-22)式에서 $b_i = B_i \omega / K_i c$ 며 Froude의 logarithmic decrement係數 a 와 $b_i = b_{i0}$ 인 값을 취하면 (3-22)式은

$$k = \frac{\frac{2a}{\pi}}{\frac{2a}{\pi} + \frac{\lambda'}{\sqrt{\lambda'}}} = \frac{\frac{2a}{\pi}}{\frac{2a}{\pi} + \sqrt{\lambda'}} \quad \dots \dots \dots (3-23)$$

이 되며 $2a/\pi = 0.07, 0.10, 0.15, 0.20, 0.25, 0.30, 0.35$ 인 경우 (3-22)式에서 $b_i = 0.3877$ 로 하였을 때 k 의 計算値는 Fig. 4-14에, $b_i = \sqrt{\lambda'}$ 로 하였을 때 k 의 計算値는 Fig. 4-15에 플로트하였다.

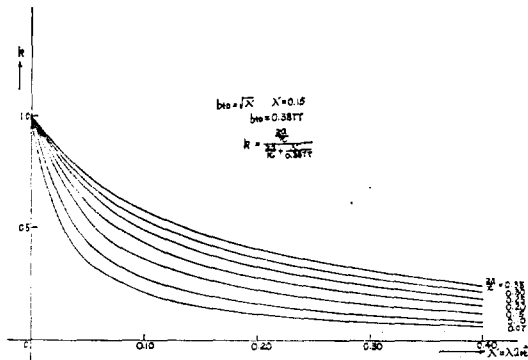
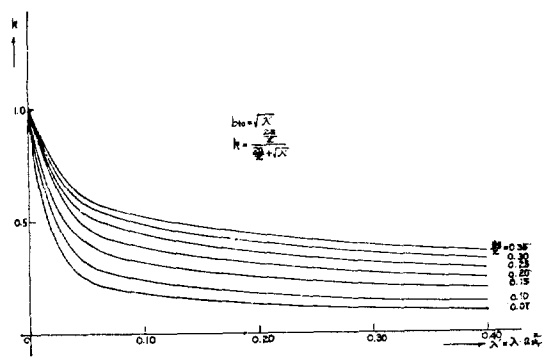
Fig. 4-14 k -values with $b_{i0} = 0.3877$ Fig. 4-15 k -values with $b_{i0} = \sqrt{\lambda'}$

Fig. 4-14와 Fig. 4-15를 比較検討하면 $\lambda' = 0.15$ 보다 적은 값에는 $b_i = \sqrt{\lambda'}$ 인 경우가 $b_i = 0.3877$ 인 경우보다 減搖率이 낮음을 알 수 있다.

5. 不規則波中의 減搖水槽의 効果

非線型系에서 正規性 不規則波가 入力으로 作用할 때, 系의 應答에 關해서는 統計的 等價線型化方法을 써 왔으며 이 方法은 非線型要素를 그것과 等價인 線型要素로 置換함으로써 應答의 統計量을 近似的으로 評價하며 이 밖에도 여러 가지 等價線型化方法이 현재 提案되고 있다. 本論文에서는 減搖水槽의 天井에 물이 부딪쳤을

때, 水槽의 復原項이 飽和狀態를 나타냄으로써 非線型要素가 되어 이 경우 不規則海洋波中에서의 減搖水槽의 性能을 統計的 等價線型化方法으로 考察해 보기로 한다. 다시 말해서 非線型系 即 減搖水槽의 물이 天井에 부딪쳤을 때의 應答과 線型化된 系의 應答의 差가 最少가 되도록 等價 gain K 를 決定하고 tank 水가 天井에 부딪쳤을 때 그 부딪치는 程度를 變化시켜 가며 不規則波에 對한 應答을 스펙트럼 에너지 (spectrum energy)로 解析한 결과 역시 天井에 부딪치는 率이 높으면 높을수록 水槽의 効率은 減少된다는 것을 알게 되었다.

5.1 Tank 水가 天井에 부딪칠 경우의 等價線型化方法 [10][11]

Fig. 5-1를 參考로 하면 減搖 tank 水의 線型運動方

程式은

$$J_t \ddot{\phi} + B_t \dot{\phi} + K_t \phi = F(t) n \quad \dots \dots \dots (5-1)$$

로 表示되며 復原項의 非線型項을 포함한 非線型運動方程式은

$$J_t \ddot{\phi} + B_t \dot{\phi} + K_t \phi + k f(\phi) = F(t) n \quad \dots \dots \dots (5-2)$$

Fig. 5-1

이 며 (5-2)式을 線型化하면

$$J_t \ddot{\phi} + B_t \dot{\phi} + K_t \phi + k K \phi = F(t) n - k e(\phi) \quad \dots \dots \dots (5-2)'$$

但, $e(\phi) = f(\phi) - K \phi$ (5-3)

(5-2)'式으로 表示되며 (5-1)式의 等價線型方程式은 아래와 같다.

$$J_t \ddot{\phi}_u + B_t \dot{\phi}_u + K_t \phi_u + k K \phi_u = F(t) n \quad \dots \dots \dots (5-4)$$

(5-4)式을 整理하면

$$J_t \ddot{\phi}_u + B_t \dot{\phi}_u + K_t(1+kK) \phi_u = F(t) n \quad \dots \dots \dots (5-4)'$$

(5-4)'式은 풀면

$$\ddot{\phi}_u + b_t \omega_t \dot{\phi}_u + \omega_t^2(1+kK) \phi_u = U_n \quad \dots \dots \dots (5-5)$$

但, $U = -\frac{F(t)}{K_t}$

이 된다. 그리고 K 值를 決定하는 未知數인 分散을 구하던

$$\begin{aligned} \psi_{st} - \psi_{stl} &= \frac{U^2 \alpha}{\omega_t^2 + \alpha} \int_0^\infty e^{-\alpha t} \cos \omega_t t dt \{ R_{ee}(\tau) - R_{en}(\tau) \\ &\quad - R_{ne}(\tau) \} = \frac{U^2 \alpha}{(\omega_t^2 + \alpha)^2} [R_{ee}(\tau) - R_{en}(\tau) - R_{ne}(\tau)] \end{aligned} \quad \dots \dots \dots (5-6)$$

이 되며 U 를 單位衝擊力으로 놓으면

$$\begin{aligned} R_{ee}(\tau) \cong R_{ee}(\tau) &= R_{ff(\phi)}(\tau) - 2KR_{f(\phi)}\psi^*(\tau) \\ &\quad + K^2 R_{\phi\phi}(\tau) \end{aligned} \quad \dots \dots \dots (5-7)$$

이 되며

$$\begin{aligned} R_{en}(\tau) \cong R_{en}(\tau) &= \left[\omega_t^2(1+kK) + b_{t0} \frac{\partial}{\partial \tau} + \frac{\partial^2}{\partial \tau^2} \right] \\ &\quad \{ R_{f(\phi)\phi}(\tau) - KR_{\phi\phi}(\tau) \} \end{aligned} \quad \dots \dots \dots (5-8)$$

이 되고

$$R_{ne}(\tau) \cong R_{ne}(\tau) = \left[\omega_t^2(1+kK) + b_{t0} \frac{\partial}{\partial \tau} + \frac{\partial^2}{\partial \tau^2} \right]$$

$$\{ R_{f(\phi)\phi}(\tau) - KR_{\phi\phi}(\tau) \} \quad \dots \dots \dots (5-9)$$

여기서 (5-8)式과 (5-9)式을 플러스하면

$$R_{en}(\tau) + R_{ne}(\tau) = \left[2\omega_t^2(1+kK) + 2 \frac{\partial^2}{\partial \tau^2} \right]$$

$$\begin{aligned} \left[R_{f(\phi)\phi}(\tau) - KR_{\phi\phi}(\tau) \right] &= 2 \left[\omega_t^2(1+kK) \right. \\ &\quad \left. + \frac{\partial^2}{\partial \tau^2} \right] \{ R_{f(\phi)\phi}(\tau) - KR_{\phi\phi}(\tau) \} \end{aligned} \quad \dots \dots \dots (5-10)$$

되어 分散의 差를 구하면,

$$\begin{aligned} \psi_{st} - \psi_{stl} &= \frac{U^2 \alpha^2}{(\omega_t^2 + \alpha)^2} [R_{ff}(\tau) - 2KR_{f\phi}(\tau) \\ &\quad + K^2 R_{\phi\phi}(\tau) - 2 \left[\omega_t^2(1+kK) + \frac{\partial^2}{\partial \tau^2} \right] \{ R_{f\phi}(\tau) \right. \\ &\quad \left. - KR_{\phi\phi}(\tau) \}] = \frac{U^2 \alpha^2}{(\omega_t^2 + \alpha)^2} [R_{ff}(\tau) \\ &\quad - 2KR_{f\phi}(\tau) + K^2 R_{\phi\phi}(\tau) - 2 \left[\omega_t^2(1+kK) \right. \\ &\quad \left. + \omega_t^2 R_{f\phi}(\tau) - KR_{\phi\phi}(\tau) \right]] \\ &= \frac{U^2 \alpha^2}{(\omega_t^2 + \alpha)^2} [R_{ff}(\tau) - 2KR_{f\phi}(\tau) \\ &\quad + K^2 R_{\phi\phi}(\tau) - 2 \left[\omega_t^2(1+kK) + \frac{\partial^2}{\partial \tau^2} \right] \\ &\quad \{ R_{f\phi}(\tau) - KR_{\phi\phi}(\tau) \}] = \frac{U \alpha^2}{(\omega_t^2 + \alpha)^2} [U \{ R_{ff}(\tau) \\ &\quad - 2KR_{f\phi}(\tau) + K^2 R_{\phi\phi}(\tau) - 2 \left[\omega_t^2(1+kK) + \frac{\partial^2}{\partial \tau^2} \right] \\ &\quad \{ R_{f\phi}(\tau) - KR_{\phi\phi}(\tau) \} + \frac{\alpha_1 \omega_t^2 R_{f\phi}}{\psi_{stl}} \\ &\quad - KR_{\phi\phi} R_{f\phi}] \end{aligned} \quad \dots \dots \dots (5-11)$$

이 되며 差를 最小로 하는 K 值를 求解야 함으로 (5-11)式의 左邊을 零으로 놓으면 $|\psi_{st} - \psi_{stl}| = 0$ 即

$$\begin{aligned} |\psi_{st} - \psi_{stl}| &= \{ R_{ff}(\tau) - 2KR_{f\phi}(\tau) + K^2 R_{\phi\phi}(\tau) \} \\ &\quad - 2[\omega_t^2(1+kK) \{ R_{f\phi}(\tau) - KR_{\phi\phi}(\tau) \}] \\ &\quad + \frac{\alpha_1 \omega_t^2 R_{f\phi}}{\psi_{stl}} - KR_{\phi\phi} R_{f\phi} = \{ R_{ff}(\tau) \\ &\quad - 2KR_{f\phi}(\tau) + K^2 R_{\phi\phi}(\tau) \} - 2\omega_t^2(1+kK) R_{f\phi}(\tau) \\ &\quad + \frac{\alpha_1 \omega_t^2 R_{f\phi}}{\psi_{stl}} + 2\omega_t^2(1+kK) KR_{\phi\phi}(\tau) \\ &\quad - 2\frac{\alpha_1 \omega_t^2 R_{f\phi}}{\psi_{stl}} + 2KR_{\phi\phi} R_{f\phi} = \{ R_{ff}(\tau) \\ &\quad - 2KR_{f\phi}(\tau) + K^2 R_{\phi\phi}(\tau) \} - 2\omega_t^2(1+kK) R_{f\phi}(\tau) \\ &\quad + \frac{\alpha_1 \omega_t^2 R_{f\phi}}{\psi_{stl}} + 2\omega_t^2(1+kK) KR_{\phi\phi}(\tau) \\ &\quad + 2\omega_t^2 k K^2 R_{\phi\phi}(\tau) - 2\alpha_1 \omega_t^2 + 2KR_{\phi\phi} \psi_{stl} \\ &= \sum_{n=1}^{\infty} \rho_n(\tau) a_n^2 - 2K a_1 + K^2 \psi_{stl} - 2\omega_t^2 a_1 \\ &\quad - 2\omega_t^2 k K a_1 + 2\omega_t^2 K \psi_{stl} + 2\omega_t^2 k K^2 \psi_{stl} - 2a_1 \omega_t^2 \\ &\quad + 2K \omega_t^2 \psi_{stl} = \sum_{n=1}^{\infty} \rho_n(\tau) a_n^2 - 4a_1 \omega_t^2 - 2(a_1 \\ &\quad + a_1 k \omega_t^2 - \omega_t^2 \psi_{stl}) K + (1+2\omega_t^2 k) \psi_{stl} K^2 = 0 \end{aligned} \quad \dots \dots \dots (5-12)$$

이 된다. 그리고

$$\begin{aligned} k &= E_0, \quad A = (1+2\omega_t^2 k) \psi_{stl} \\ B' &= a_1 + a_1 k \omega_t^2 - \omega_t^2 \psi_{stl}, \quad C = \sum_{n=1}^{\infty} \rho_n(\tau) a_n^2 - 4a_1 \omega_t^2 \end{aligned} \quad \dots \dots \dots (5-13)$$

로 놓고 (5-13)式을 (5-12)式에 대입하여 K 에 관한
여 풀면

$$\begin{aligned} K = & \frac{1}{(1+2\omega_t^2 k) \phi_{\phi t}} \left[(a_1 + a_1 k \omega_t^2 - \omega_t^2 \psi_{\phi t}) \right. \\ & + (a_1 + a_1 k \omega_t^2 - \omega_t^2 \psi_{\phi t}) \left[1 - \frac{1}{2} \right. \\ & \times \left. \left. \frac{(1+2\omega_t^2 k) \psi_{\phi t} \left\{ \sum_{n=1}^{\infty} \rho_n n (\tau) a_n^2 - 4a_1 \omega_t^2 \right\}}{(a_1 + a_1 k \omega_t^2 - \omega_t^2 \psi_{\phi t})^2} \right] \right] \end{aligned} \quad (5-13)$$

이 된다.

但, $R_{ee}(\tau) : e(\phi)$ 의 自己相關函數

$R_{en}(\tau) : e(\phi_t)$ 와 $n(t)$ 의 自己相關函數

$R_{en}(\tau) : \phi(t)$ 의 自己相關函數

$R_{en}(\tau) : F(n)$ 와 $n_t(t)$ 의 相互相關函數

$R_{en}(\tau) : F(n_t)$ 와 $n_t(t)$ 의 相互相關函數

$R_{en}(\tau) : F(n)$ 의 相互相關函數

$R_{ee}(\tau) : e(\phi_t)$ 의 自己相關函數

$\psi_{\phi t} : \phi_t n(t)$ 의 正常分散

$\psi_{\phi t} : \psi(t)$ 의 定常分散

$\rho_{\phi t}(\tau) :$ 相關係數

$K :$ 等價 gain

$F(n) :$ Zero-memory 形非線型要素

5.2. 等價線型化係數 a_1 [8]

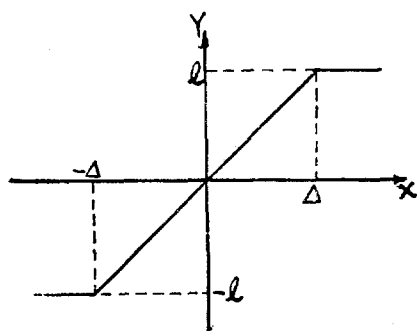


Fig. 5-2

Fig. 5-2 와 같은 saturate 狀態에 對한 等價線型化係數는 다음에 依하여 求할 수 있다.

$$\begin{aligned} a_0 = m_s &= l \left\{ (1+m_1) \phi \left(\frac{1+m_1}{\sigma_1} \right) - (1-m_1) \phi \left(\frac{1-m_1}{\sigma_1} \right) \right. \\ &\quad \left. + \frac{\sigma_1}{\sqrt{2\pi}} \left[\exp \left(-\frac{1}{2} \left(\frac{1+m_1}{\sigma_1} \right)^2 \right) \right. \right. \\ &\quad \left. \left. - \exp \left(-\frac{1}{2} \left(\frac{1-m_1}{\sigma_1} \right)^2 \right) \right] \right\} \end{aligned} \quad (5-14)$$

$$a_1 = \sigma_s h_1 = l \sigma_1 \left[\phi \left(\frac{1+m_1}{\sigma_1} \right) + \phi \left(\frac{1-m_1}{\sigma_1} \right) \right] \quad (5-15)$$

$$\begin{aligned} a_2 &= \frac{l \sigma_1}{2\sqrt{3\pi}} \left[\exp \left(-\frac{1}{2} \left(\frac{1+m_1}{\sigma_1} \right)^2 \right) \right. \\ &\quad \left. - \exp \left(-\frac{1}{2} \left(\frac{1-m_1}{\sigma_1} \right)^2 \right) \right] \end{aligned} \quad (5-16)$$

$$\begin{aligned} a_3 &= -\frac{l}{2\sqrt{3\pi}} \left[(1+m_1) \exp \left(-\frac{1}{2} \left(\frac{1+m_1}{\sigma_1} \right)^2 \right) \right. \\ &\quad \left. + (1-m_1) \exp \left(-\frac{1}{2} \left(\frac{1-m_1}{\sigma_1} \right)^2 \right) \right] \end{aligned} \quad (5-17)$$

$$\text{但, } m_1 = \frac{m_4}{A}, \sigma_1 = \frac{\sigma_x}{A} \quad (5-18)$$

여기서 實際 橫搖時에 있어서 $m_4 \neq 0$ 가 됨으로 a_3 의 係數값은 計算할 必要가 없고 a_2, a_3 係數는 극히 微少한 量임으로 여기서는 省略하고 다만 a_1 係數만을 Fig. 5-2에 表示하였다. 여기서 ϕ 는 물의 傾斜振幅을

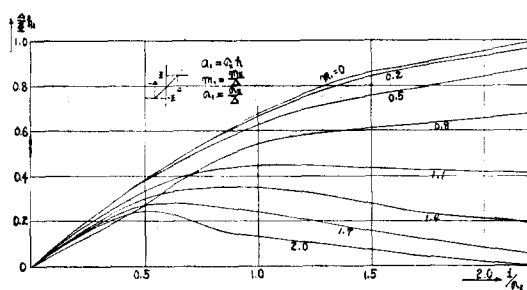


Fig. 5-3 a_1 Coefficient

나타내고 A 는 橫搖振幅 θ 이다. 橫軸을 $1/\sigma_1$ 로 base로 取하고 縱軸은 $\frac{A}{\sigma_1} h_1$ 을 取하였을 때 m_1 의 値은 $m_1 = 0, 0.2, 0.5, 0.8, 1.1, 1.4, 1.7$ 까지의 値을 擇하였으며 實際 橫搖에서 $m_1 = 0.2$ 程度의 値을 取함을 analog computer 計算에 依하여 알았다.

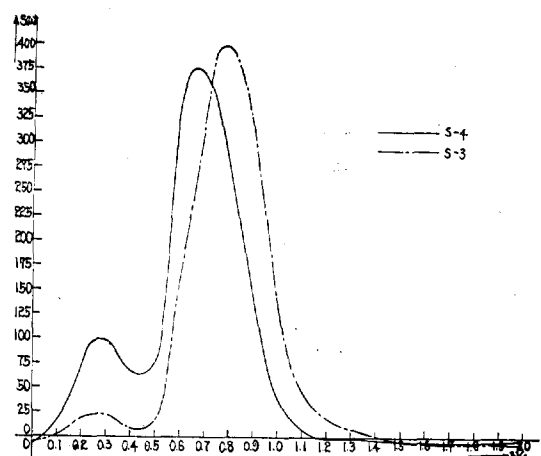


Fig. 5-4 Spectra of ship attached with anti-rolling tank in irregular waves

Fig. 5-4 은 saturate 狀態를 各各 相異하게 하여 saturate 狀態가 심한 것이 S-3이고 심하지 않는 것이 S-4에 해당되며豫想과 같아 S-3의 spectrum이 S-4 보다 큼으로 S-3의 累積에너지密度가 더 커서 1/3 有義振幅 및 平均振幅이 더 커지며 天井에 물이 많이 부

및 치면 不規則海洋波中에서도 效果가 減少함을 알 수 있다.

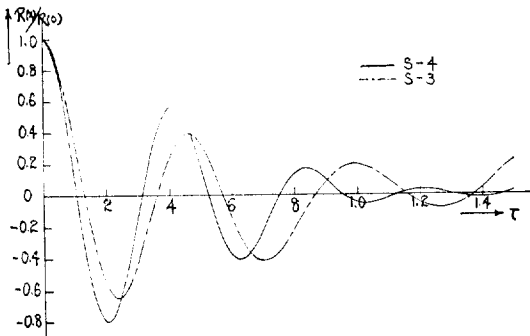


Fig. 5-5 Auto-correlation curve

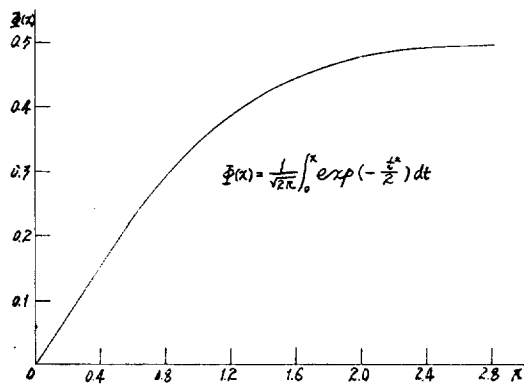


Fig. 5-9 Probability integral curve

한 경우의 等價線型化係數 a_1 를 구해보면, Fig. 5-1에서

$$a_1 = \sigma_x h_1 = l \sigma_1 \left[\phi\left(\frac{1-m_1}{\sigma_1}\right) + \phi\left(\frac{1+m_1}{\sigma_1}\right) \right] \quad (5-19)$$

이며,

$$\phi(x) = \frac{1}{\sqrt{2\pi}} \int_{-\infty}^{\infty} \exp\left\{-\frac{(1-m_1)^2}{2\sigma_1^2}\right\} dx \quad (5-20)$$

임으로

$$\phi\left(\frac{1+m_1}{\sigma_1}\right) = \frac{1}{\sqrt{2\pi}} \int_{-\infty}^{\infty} \exp\left\{-\frac{(1+m_1)^2}{2\sigma_1^2}\right\} dx \quad (5-21)$$

이 되고 $t = \frac{1-m_1}{\sigma_1}$, $m_1 = \frac{mx}{l}$, $\sigma_1 = \frac{\sigma_x}{l}$ 을 고려하면

$$\begin{aligned} \phi\left(\frac{1-m_1}{\sigma_1}\right) &= \frac{2}{\sqrt{2\pi}} \int_0^{\infty} \exp\left\{-\frac{(1+m_1)^2}{2\sigma_1^2}\right\} dx \\ &= \frac{2}{\sqrt{2\pi}} \left[-\frac{2\sigma_1^2}{(1+m_1)^2} \exp\left\{-\frac{(1+m_1)^2}{2\sigma_1^2}\right\} x \right]_0^{\infty} \\ &= \frac{2}{\sqrt{2\pi}} \left[\frac{2\sigma_1^2}{(1+m_1)^2} \right] \end{aligned} \quad (5-22)$$

이 된다. 그러므로

$$\begin{aligned} a_1 = \sigma_x h_1 &= l \sigma_1 \left[\frac{2}{\sqrt{2\pi}} \left[\frac{2\sigma_1^2}{(1+m_1)^2} + \frac{2\sigma_1^2}{(1-m_1)^2} \right] \right] \\ &= \frac{2l\sigma_1^3}{\sqrt{2\pi}} \left[\frac{1}{(1+m_1)^2} + \frac{1}{(1-m_1)^2} \right] \end{aligned} \quad (5-23)$$

이 되며 $m_1 \neq 0$ 인 경우는

$$a_1 = \frac{4l\sigma_1^3}{\sqrt{2\pi}} \quad (5-24)$$

이며 $\sigma_1 = \frac{\sigma_x}{l}$ 와 $h_1 = \frac{1}{\sigma_x}$ 을 고려하면

$$\frac{4}{l} h_1 = \frac{4}{\sqrt{2\pi}} \sigma_1^2 \quad (5-25)$$

임으로

$$\frac{4}{l} h_1 = \frac{2\sigma_1^2}{\sqrt{2\pi}} \left[\frac{1}{(1+m_1)^2} + \frac{1}{(1-m_1)^2} \right] \quad (5-26)$$

을 구하여 Fig. 5-10에서 Φ 는 tank 水의 摆角, θ 는 橫揺角, θ_a 는 波傾斜角을 表示하며 不規則波中の 減

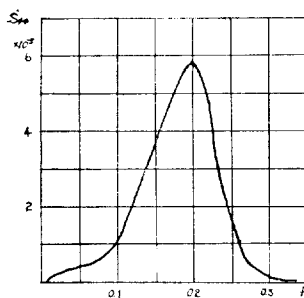


Fig. 5-6 Power spectrum of tank with no saturating

Fig. 5-5 는 $S-3$ 와 $S-4$ 에 對한 Auto-correlation curve 를 電子計算機에 依하여 計算한 値을 플로트한 것이며 이 것은 Gauss 分布된 海洋波를 入力으로 하여 Analog computer 에 ship-tank system 的 傳達函數를 programming 하여 그 出力を data recorder에 記錄하여 이것을 2分半記錄을 0.1秒間隔으로 sampling 하여 1,500個의 data 로써 auto-correlation function 을 計算하여 sampling 間隔 τ 를 base로 하여

Fig. 5-6는 tank 가 saturate 되지 않았을 때의 tank 的 振幅의 spectrum 이고 그것에相當하는 spectrum은 Fig. 5-7이다. Fig. 5-6는 tank 가 saturate 되지 않았을 때의 tank 的 振幅의 spectrum 이고 그것에相當하는 spectrum은 Fig. 5-7이다.

이것은 減搖水槽의 不規則波中에서의 應答을 考察한 것이며 規則波中에서와 같은 效果는 아닙니다. 예시 좋은 效果를 나타내고 있으며 Fig. 5-8은 cross-correlation function 을 計算하여 그린 曲線이다.

Fig. 5-9 은 a_1 係數를 計算하는데 必要하며 saturate

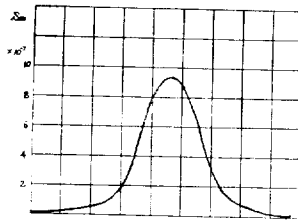


Fig. 5-7 Power spectrum of tank with correspondeng. of Fig. 5-5

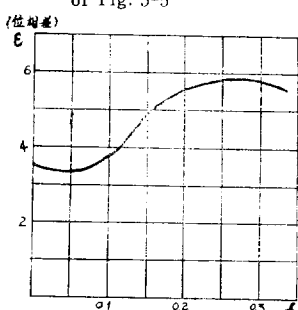


Fig. 5-8 Difference curve 에서와 같은 效果는 아닙니다. 예시 좋은 效果를 나타내고 있으며 Fig. 5-8은 cross-correlation function 을 計算하여 그린 曲線이다. Fig. 5-9 은 a_1 係數를 計算하는데 必要하며 saturate

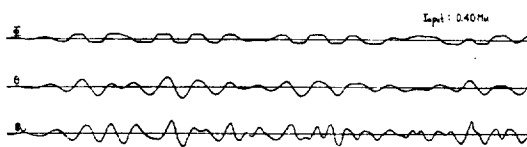


Fig. 5-10 Effect of anti-rolling tank in irregular waves (saturating state)

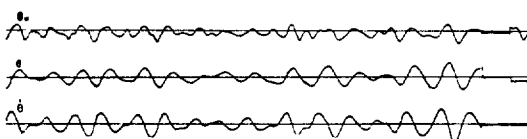


Fig. 5-11 Effect of anti-rolling tank in irregular waves (normal state)

搖水槽의 效果를 analog-computer에 依해서 測定한 것이다며 Fig. 5-11은 normal state에 關해서 測定한 것이다.

6. 結論

以上에서 論한 바와 같이 研究全過程을 通하여 다음과 같은 結論을 얻었다.

- 1) 減搖水槽의 最適減衰係數의 式은 $\lambda' = \lambda \cdot a_{st}^2$ 으로 表示되며 trial method에 依한 magnification factor, μ ,의 計算值들을 比較検討한 結果, $b_t = 0.3877$ 일 때 가장 效果的임으로 이 값을 最適減衰係數 b_{t0} ,로 定한다.
- 2) 減搖水槽는 減衰係數가 작을수록 $\omega/\omega_s = 1$ 부근에서 減搖效果가 좋다.
- 3) 減搖率 K 는 $b_t = 0.3877$ 일 때 $\lambda' = 0.15$ 보다 적은 값에서 $b_t = \sqrt{\lambda'}$ 일 때보다 크다.
- 4) 非線型等價線型化係數 K 를 saturating 狀態에 關하여 求하고 不規則波中에서의 tank 水의 saturating 時의 tank 效果를 研究한 結果, 規則波中에서와 같은 saturating 程度에 따라 減搖水槽效果가 減小함을 알 수 있다.

後記

本研究를 為해 物心兩面으로 도와준 仁荷產業開發研究所에 感謝하며 本研究 동안 圖面과 data 整理를 도와준 金聖冀君의 手苦에 感謝한다.

参考文獻

- 1) S.N. Blagoveschensky: "Theory of ship motions," Dover Publications Inc. New York. 1962.
- 2) J.H. Chadwick and Klatter: "On the Dynamics of Anti-Rolling Tank," Schiff, Technik. 1954.
- 3) Ir, C. Stigter: "Performance of U-Tank as a Passive Anti-Rolling Tanks," Publication of the Netherlands ship Research Center TN, 1966, Aug. Vol. 13, No. 144.
- 4) 禹奉九: "減搖タンクの効果について", 日本造船學會論文集, No, 126 昭和 44 年
- 5) W.H. Chu, J.F. Dalzell, and J.E. Modisette; "Theoretical and Experimental study of ship roll stabilization", Ship Resarch, 1968.
- 6) 禹奉九, 具鍾道: "減搖水槽의 性能에 關하여 (1)", 大韓造船學會誌, 8 卷 2 號, 1971.
- 7) 山内保文: "海洋波中の應答" 耐航性に 關するシンポジウム, 日本造船學會, 昭和 44 年 7 月.
- 8) A.A. Pervozvanskii: "Random processes in non-linear control Systems", Academic press, New York and London. 1965.
- 9) 磯部考編: "相關函數およびスペクトル", 東大出版會 1968.
- 10) Y. Yamanouchi: "On the effects of Non-linearity of Response on Calculation of the Spectrum", 11th I.T.T.C.
- 11) 添田喬外: "非線形制御系の定常應答の評價に對する等價線型化手法についての一研究", 日本機械學會誌, 35 卷 273 號 (昭 44~5).